



Fot. 1.- Apilamiento de coladas basálticas del estratovolcán de Famara, en la zona de Morro Prieto, al norte de Teguise, en donde se observa el tramo superior (S), separado por un almagre del tramo medio (M). El tramo inferior (I) está menos marcado.  
Autor: J.A. Gómez

Edad: Mioceno-Plioceno

- PASA A LA HOSA DE 500 (1080 III) POR ESTÁR FUERA DE PLANO.



Fot. 10.- Edificio Montaña Chica, con sus laderas cubiertas por depósitos de alteración.  
Autor: R. Balcells

Edad: Cuaternario



Fot. 11.- Panorámica hacia el NE, desde Montaña Cabrera, en donde se aprecia un edificio piroclástico muy desmantelado (edificio Los Cabezos, C) y con escaso resalte morfológico. Al fondo, las coladas basálticas que proceden del edificio Guanapay (G), cubiertas por depósitos arenoso-arcillosos.

Autor: R. Balcells

Edad: Cuaternario



Fot. 12.- Coladas basálticas del edificio Guantesive, en el barranco de Munguía.  
Autor: J.A. Gómez  
Edad: Cuaternario



Pot. 13.- Edificio Montaña Ubigue, visto desde Montaña Zonzamas. En primer término se observa el malpaís de lavas de la erupción histórica de Timanfaya (1730-36), correspondiente al ramal que se canalizó hacia Arrecife.

Autor: R. Balcells

Edad: Cuaternario



Fot. 14.- Edificio Montaña Berrugo. A la izquierda se observan arenas eólicas adosadas al edificio (A).



Fot. 15.- Edificio Montaña Timbaiba, visto desde el sur.

Autor: R. Balcells

Edad: Cuaternario



Fot. 16.- Edificio Montaña Timbaiba (T) y edificio Llanos de Liria (L). En primer término, los enarenados de picón en los campos de cultivo.  
Autor: J.A. Gómez

Edad: Cuaternario



Fot. 17.- Edificio Montaña Mina, con el cráter abierto hacia el norte.

Autor: R. Balcells

Edad: Cuaternario



Fot. 18.- Malpaís degradado de lavas basálticas, procedentes, posiblemente, de los edificios de la alineación La Montañeta-Caldera Honda. Se observan algunos túmulos (T) sobresaliendo entre el malpaís.

Autor: R. Balcells

Edad: Cuaternario



Fot. 19.- Túmulo de lavas en la Vega de Mozaga, emitido posiblemente, a partir de la alineación de La Montañeta-Caldera Honda.

Autor: R. Balcells

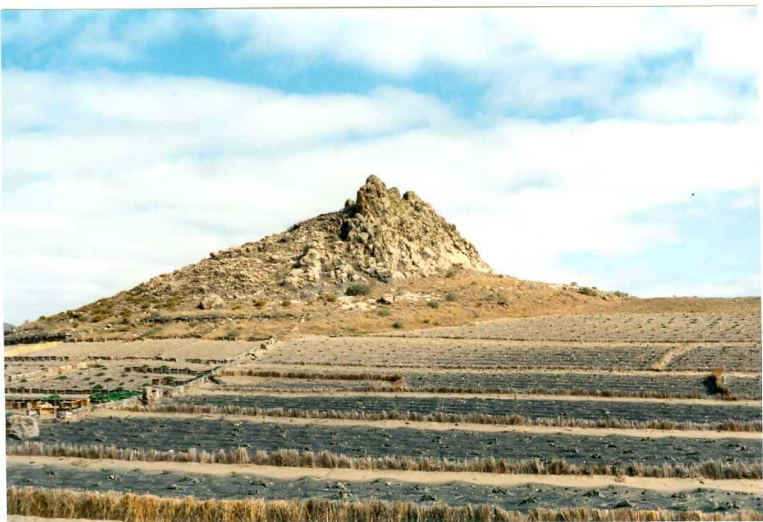
Edad: Cuaternario



Fot. 2.- Coladas basálticas del tramo inferior del estratovolcán de Famara en las inmediaciones de Morro Prieto, apoyados sobre depósitos piroclásticos.

Autor: J.A. Gómez

Edad: Mioceno



Fot. 20.- Túmulo de lavas, similar al de la fotografía anterior, en la Vega de Mozaga.  
Autor: R. Balcells

Edad: Cuaternario



Fot. 21.- Edificio Téjida, con el cráter abierto hacia el NE.

Autor: R. Balcells

Edad: Cuaternario

•PASA A LA HOJA DE GUATIZA (1080 III) POR ESTÁR FUERA DE PLANO.



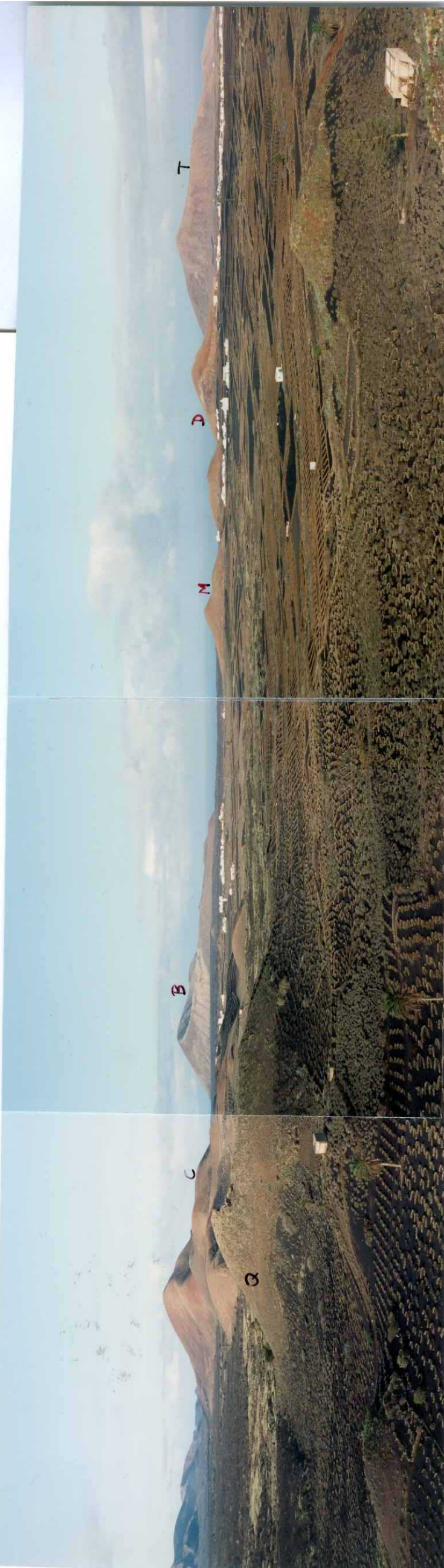
Fot. 22.- Edificio Montaña Támia, con su cráter abierto hacia el NE.  
Autor: R. Balcells  
Edad: Cuaternario



Fot. 23.- Edificios de la Meseta (M) y Tizalaya (T), pertenecientes a la alineación Tizalaya-Tamia.

Autor: R. Balcells

Edad: Cuaternario



Fot. 24.- Edificios volcánicos de la alineación Tingafá-Berrugo; Montaña Quemada (Q) y Montaña Coruja (C). En el centro se observa el edificio Montaña Blanca (B), y, a la derecha, La Montañeta (M), Montaña Dolores (D) y Montaña Tinaché (T).

Autor: R. Balcells

Edad: Cuaternario



Fot. 25.- Edificio Montaña Iguadén, perteneciente a la alineación Tingafa-Berrugo.  
Autor: R. Balcells  
Edad: Cuaternario



Fot. 26.- Edificio Montaña Tahiche.

Autor: R. Balcells

Edad: Cuaternario



Fot. 27.- Campo de dunas cuaternarias en la zona de Hoya de la Plata, y, al fondo, los edificios Pico Colorado (PC) y Soo (S).

Autor: J.A. Gómez

Edad: Cuaternario



Fot. 28.- Arenas eólicas con estratificaciones cruzadas al noroeste de Montaña Timbaiba.  
Autor: J.A. Gómez Edad: Cuaternario



Fot. 29.- Depósitos de alteración con fenómenos de abarrancamiento, en las laderas occidentales del edificio Guanapay, y al fondo, el pueblo de Teguise.  
Autor: J.A. Gómez

Edad: Cuaternario



Fot. 3.- Detalle de los depósitos piroclásticos de la fotografía anterior.  
Autor: J.A. Gómez

Edad: Mioceno



Fot. 30.- Depósitos de alteración en las laderas orientales del edificio Guanapay. Al fondo los edificios Montaña Guenia (G) y La Caldera (C).

Autor: J.A. Gómez

Edad: Cuaternario



Fot. 31.- Depósitos aluviales y de alteración en la Vega de Tiagua.  
Autor: R. Balcells

Edad: Cuaternario

• SIN UBICACIÓN EN EL PLANO DE SITUACIÓN DE MUESTRAS,  
NI EN FICHAS MCC1.



Fot. 32.- Edificio Montaña Guenia.

Autor: J.A. Gómez

Edad: Cuaternario

• SIN UBICACIÓN EN EL PLANO DE SITUACIÓN DE NUESTRAS  
NI EN FICHAS HCCI.

**SIN UBICACIÓN EN EL PLANO DE SITUACIÓN DE  
HUESTRAS  
NI EN FICHAS MCCI**



Fot. 33.- Malpais de lavas de la erupción histórica de Timanfaya (1730-36), en la zona de Casas de Pereyra, al sur de Montaña Tizalaya.

Autor: R. Balcells

Edad: Cuaternario



Fot. 34.- Lavas "pahoehoe" de las erupciones históricas de Timanfaya (1730-36), en la zona de La Quemada, al sur del edificio Iguadén. Se observa la morfología cordada y agrietamientos radiales y longitudinales.

Autor: R. Balcells

Edad: Cuaternario



Fot. 35.- Lavas "pahoehoe" de las erupciones históricas de Timanfaya (1730-36), en las inmediaciones de Casas de Pereyra. Se observa una morfología lobulada, tabular y cordada.

Autor: R. Balcells

Edad: Cuaternario



Fot. 36.- Edificio Clérigo Duarte, originado durante las erupciones de 1824.  
Autor: J.A. Gómez  
Edad: Cuaternario

• SIN UBICACIÓN EN EL PLANO DE SITUACIÓN DE NUESTRAS,  
NI EN FICHAS HCC1.



Fot. 37.- Edificio Clérigo Duarte, originado durante las erupciones de 1824.  
Autor: J.A. Gómez

Edad: Cuaternario



Fot. 38.- Extracciones de lapilli, hoy abandonadas, en la ladera sur de Montaña Chica.  
Autor: R. Balcells  
Edad: Cuaternario



Fot. 39.- Cantera de picón (lapilli), en la ladera sur de Montaña Maneje.  
Autor: R. Balcells

Edad: Cuaternario

• SIN UBICACIÓN EN EL PLANO DE SITUACIÓN DE MUESTRAS.  
NI EN FICHAS MCC1.



Fot. 4.- Coladas basálticas del edificio Montaña Chimia (Pleistoceno), discordantes sobre los apilamientos lávicos del estratovolcán de Famara, en el barranco de las Piletas.

Autor: J.A. Gómez

Edad: Plioceno-Pleistoceno



Fot. 40.- Cantera de picón (lapilli), en la ladera sur de Montaña Tahiche.  
Autor: R. Balcells

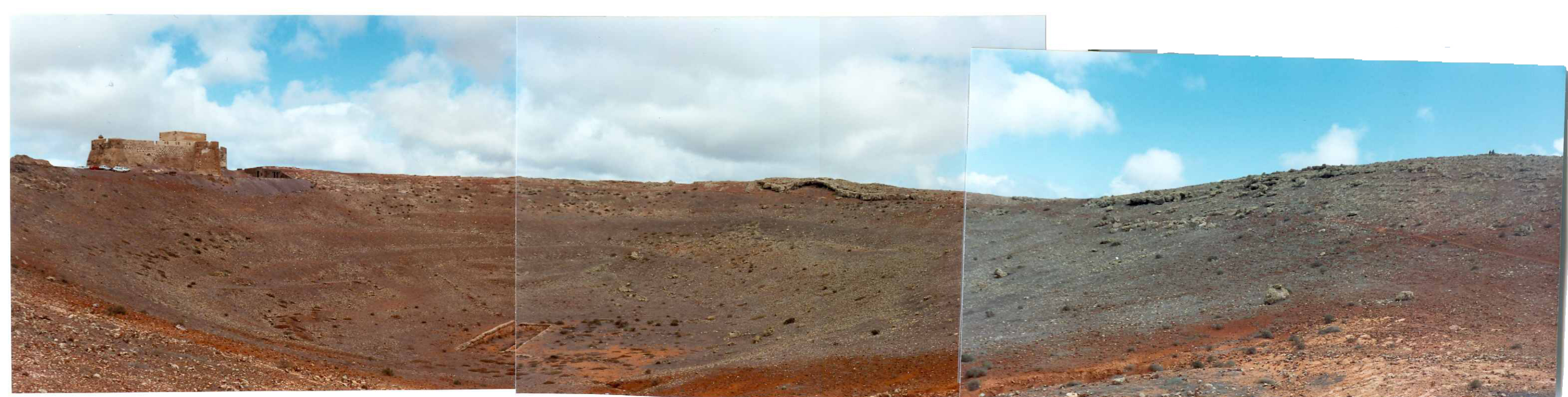
Edad: Cuaternario



Fot. 5.- Panorámica de la zona suroriental de la hoja, desde Montaña Tahiche, donde se aprecia la suave morfología del área y al fondo los relieves de los edificios Montaña Guanapay (G), volcanes de Nazaret (N), Montaña Chica (C) y Cabrera (CB).

Autor: R. Balcells

Edad: Cuaternario



Fot. 6.- Panorámica del cráter del edificio Guanapay desde el borde sur. A la izquierda está el castillo del mismo nombre.  
Autor: J.A. Gómez  
Edad: Cuaternario (Pleistoceno)



Fot. 7.- Edificio Nazaret, con su morfología original muy alterada por las extracciones de picón y la construcción de vivienda en sus laderas.

Autor: R. Balcells

Edad: Cuaternario



Fot. 8.- Edificio Las Canteras, en Nazaret, semicubierto por coladas basálticas procedentes del edificio Guanapay (G) cayendo por sus laderas.

Autor: R. Balcells

Edad: Cuaternario



Fot. 9.- Edificios Montaña Chica (C) y Montaña Cabrera (CB).

Autor: R. Balcells

Edad: Cuaternario